

В.Н.Глазков
«Физика низкоразмерных систем»
слайды к лекции 9

Одномерные спиновые системы 2:
Гейзенберговская спиновая цепочка.

Гейзенберговский гамильтониан спиновой цепочки в фермионном представлении

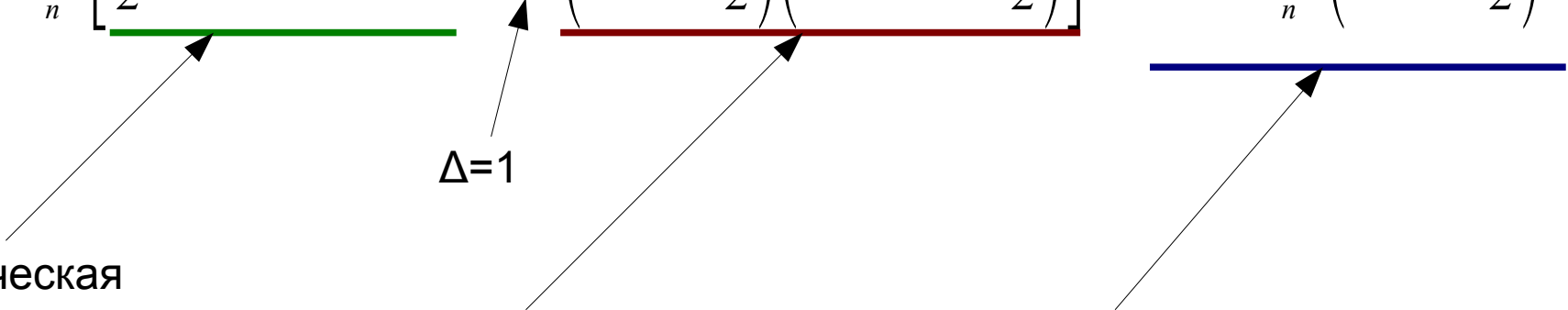
$$\hat{H}_{XXZ} = J \sum_n \left[\frac{1}{2} (c_n^+ c_{n+1} + c_n c_{n+1}^+) + \Delta \left(c_n c_n^+ - \frac{1}{2} \right) \left(c_{n+1} c_{n+1}^+ - \frac{1}{2} \right) \right] - g \mu_B H \sum_n \left(c_n^+ c_n - \frac{1}{2} \right)$$

кинетическая
энергия

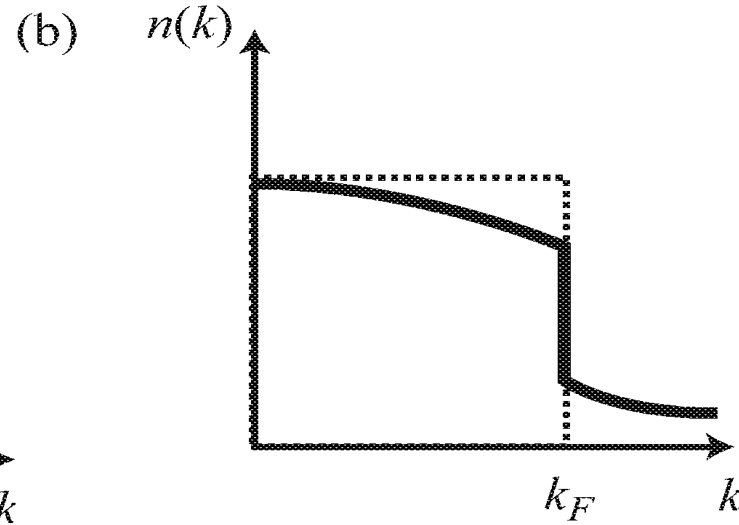
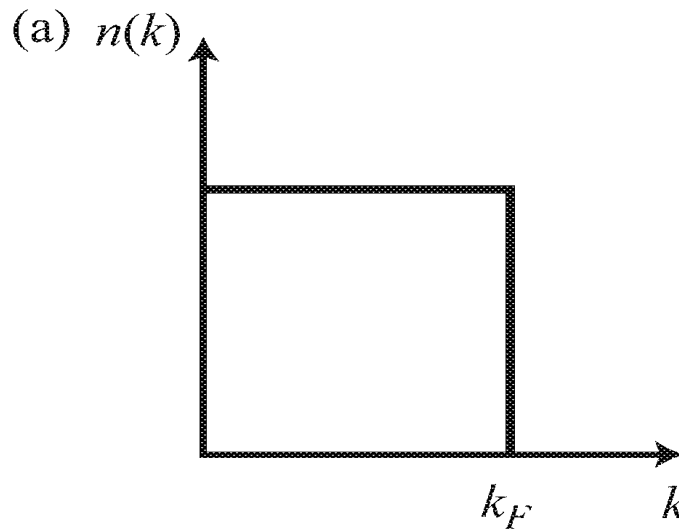
$\Delta=1$

химпотенциал
+
взаимодействие

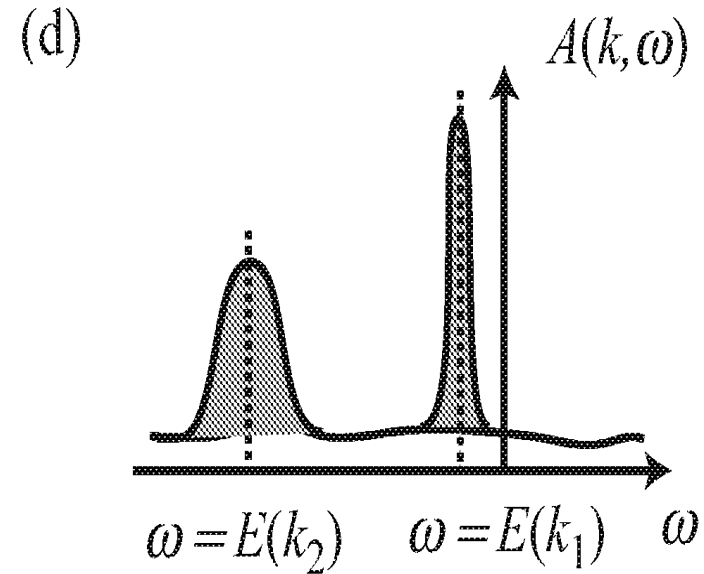
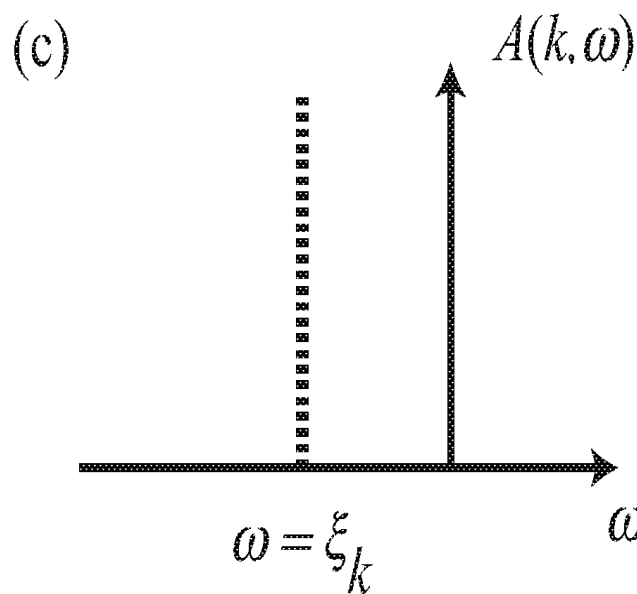
химпотенциал



Напоминание про ферми-жидкость

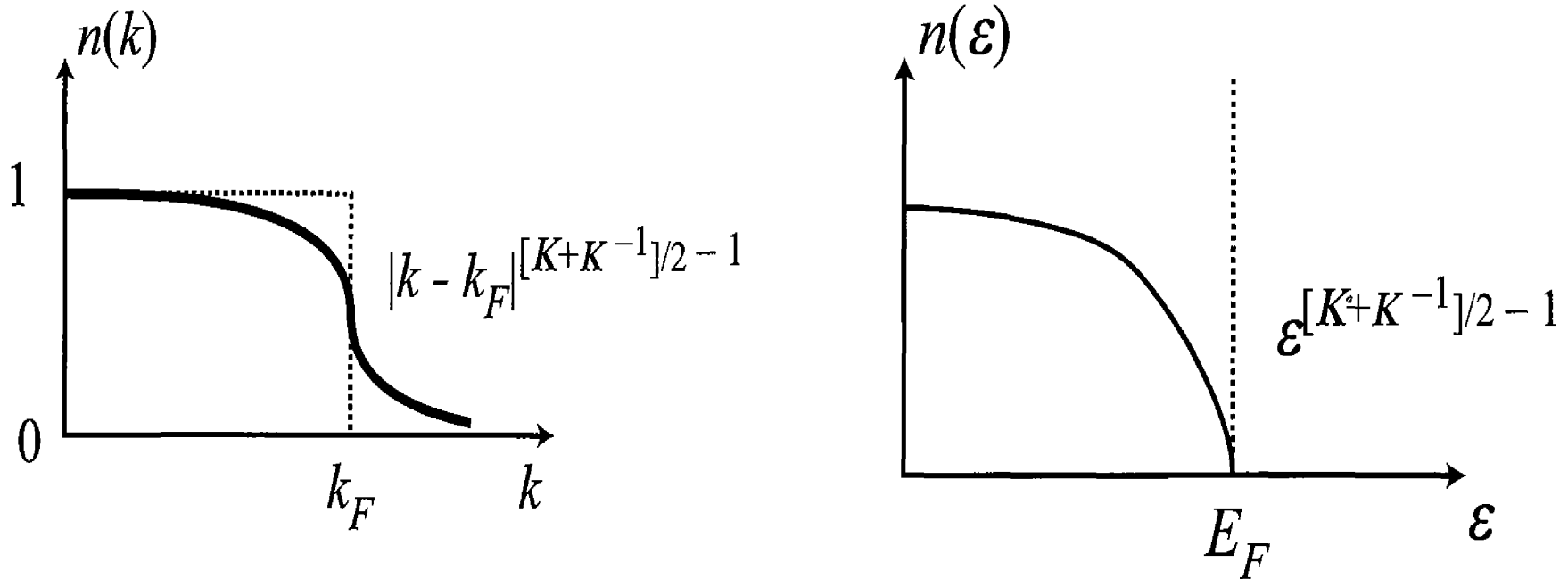


(a) Функция распределения по импульсам для идеального ферми-газа при $T=0$. (b) Схематическое изображение функции распределения по импульсам для ферми-жидкости при наличии взаимодействия.



Схематическое изображение спектральной плотности для ферми-газа (c) и для ферми-жидкости (d).

... и одномерный случай. Жидкость Томонаги-Латтинжера.



Функции распределения по импульсу (слева) и энергии (справа) в одномерной системе взаимодействующих ферми-частиц.

$$n(k) - n(k_F) \propto -\text{sign}(k - k_F) |k - k_F|^{\frac{K+K^{-1}}{2} - 1} \quad n(\varepsilon) \propto \varepsilon^{\frac{K+K^{-1}}{2} - 1}$$

Отсутствие хорошо определённых квазичастиц;
 Линейный спектр возбуждений на малых волновых векторах;
 Для заряженных частиц — разделение зарядовой и спиновой
 степени свободы
 (хороший обзор arXiv: 9807366)

Построение волновой функции основного состояния.

$$\hat{H} = \sum_m J_{ij} \left(\hat{S}_m^z \hat{S}_{m+1}^z + \frac{1}{2} \left(\hat{S}_m^+ \hat{S}_{m+1}^- + \hat{S}_m^- \hat{S}_{m+1}^+ \right) \right)$$

«вакуум» = поляризованное состояние

$$\psi_0 = | \dots \text{-----} \dots \rangle$$

$$E_0 = NJ/4$$

одночастичное состояние

$$\psi_k = \frac{1}{\sqrt{N}} \sum_n e^{i\vec{k} \cdot \vec{r}_n} \hat{S}_n^+ \psi_0$$

$$E(\vec{k}) = \langle \psi_k | \hat{H} | \psi_k \rangle = \frac{1}{N} \sum_{n, n'} e^{i\vec{k} \cdot (\vec{r}_n - \vec{r}_{n'})} \langle \psi_0 | \hat{S}_{n'}^- \hat{H} \hat{S}_n^+ | \psi_0 \rangle$$

частично вычислено для XY модели, осталась только ZZ-часть гамильтониана

$$\hat{S}_m^z \hat{S}_n^+ = \hat{S}_n^+ \left(\hat{S}_m^z + \delta_{mn} \right)$$

$$E(\vec{k}) = J \cos(ka) + \frac{J}{N} \sum_{n, m} \langle \psi_0 | \hat{S}_n^- \hat{S}_m^z \hat{S}_{m+1}^z \hat{S}_n^+ | \psi_0 \rangle = J \cos(ka) +$$

$$+ \frac{J}{N} \sum_{n, m} \langle \psi_0 | \left(\hat{S}_m^z + \delta_{mn} \right) \left(\hat{S}_{m+1}^z + \delta_{m+1, n} \right) | \psi_0 \rangle = J \cos(ka) + \frac{NJ}{4} - J = E_0 - J(1 - \cos(ka))$$

Двухчастичные и далее состояния

наивно: $\psi'_{k,k'} = A \sum_{n,n'} e^{ikna} e^{ik'n'a} \hat{S}_n^+ \hat{S}_{n'}^+ \psi_0$

нельзя,
избыточность базиса

$$\psi_{k,k'} = \frac{1}{2} \sum_{i \neq j} f_{ij} \hat{S}_i^+ \hat{S}_j^+ \psi_0$$

$$f_{ij} = f_{ji}$$

диагональные элементы физического смысла не имеют — можно доопределить по математическому удобству

$$\hat{H} \psi = E \psi$$

$$\langle \psi_0 | \hat{S}_i^- \hat{S}_j^- \hat{H} | \psi_{k,k'} \rangle = E \langle \psi_0 | \hat{S}_i^- \hat{S}_j^- | \psi_{k,k'} \rangle$$

$$J \left\langle \psi_0 \left| \hat{S}_i^- \hat{S}_j^- \sum_m \left(\hat{S}_m^z \hat{S}_{m+1}^z + \frac{\hat{S}_m^+ \hat{S}_{m+1}^- + \hat{S}_m^- \hat{S}_{m+1}^+}{2} \right) \sum_{n \neq n'} f_{nn'} \hat{S}_n^+ \hat{S}_{n'}^+ \right| \psi_0 \right\rangle = E (f_{ij} + f_{ji})$$

для вычисления следим, чтобы на каждом узле
повышающие и понижающие операторы встречались
одинаковое число раз

ВЫЧИСЛЯЕМ....

ZZ: нужно совпадение пар (i, j) и (n, n')

произведение Z-компонент $\frac{1}{4}$, кроме тех случаев, когда до S_z был переворот спина.

$$\sum_{n \neq n'} (\delta_{in} \delta_{jn'} + \delta_{in'} \delta_{jn}) f_{nn'} \sum_m \left(\frac{1}{4} - \frac{1}{2} ((\delta_{mn} + \delta_{m+1, n'}) (1 - \delta_{n+1, n'}) + (\delta_{mn'} + \delta_{m+1, n}) (1 - \delta_{n'+1, n})) \right) =$$

$$= (f_{ij} + f_{ji}) \left(\frac{N}{4} - 2 + \delta_{i+1, j} + \delta_{j+1, i} \right)$$

«+-» слагаемое

m+1 должно быть n или n' и т.д.

$$\frac{1}{2} \sum_{n \neq n', m} f_{nn'} \hat{S}_i^- \hat{S}_j^- \hat{S}_m^+ \hat{S}_{m+1}^- \hat{S}_n^+ \hat{S}_{n'}^+ =$$

$$= \frac{1}{2} \sum_{n \neq n', m} f_{nn'} (\delta_{im} (\delta_{jn} \delta_{m+1, n'} + \delta_{jn'} \delta_{m+1, n}) + \delta_{jm} (\delta_{in} \delta_{m+1, n'} + \delta_{in'} \delta_{m+1, n})) =$$

$$= \frac{1}{2} (f_{j, i+1} |_{j \neq i+1} + f_{i+1, j} |_{j \neq i+1} + f_{i, j+1} |_{j \neq i-1} + f_{j+1, i} |_{j \neq i-1})$$

«-+» слагаемое

$$\frac{1}{2} (f_{j, i-1} |_{j \neq i-1} + f_{i-1, j} |_{j \neq i-1} + f_{i, j-1} |_{i \neq j-1} + f_{j-1, i} |_{i \neq j-1})$$

... и наконец

$$(E - E_0 + 2J) f_{ij} - \frac{J}{2} (f_{i,j+1}|_{i \neq j+1} + f_{i,j-1}|_{i \neq j-1} + f_{i+1,j}|_{i \neq j-1} + f_{i-1,j}|_{i \neq j+1}) = J f_{ij} (\delta_{i+1,j} + \delta_{j+1,i})$$

от исключений слева избавляемся, добавляя исключённые члены справа

$$(E - E_0 + 2J) f_{ij} - \frac{J}{2} (f_{i,j+1} + f_{i,j-1} + f_{i+1,j} + f_{i-1,j}) = J f_{ij} (\delta_{i+1,j} + \delta_{j+1,i}) - \frac{J}{2} (f_{ii} \delta_{i,j+1} + f_{ii} \delta_{i,j-1} + f_{jj} \delta_{i,j-1} + f_{jj} \delta_{i,j+1}) = J (\delta_{i+1,j} + \delta_{j+1,i}) \left(f_{ij} - \frac{f_{ii} + f_{jj}}{2} \right)$$

так как диагональные члены нефизичны — выбираем их по удобству (работает только для $S=1/2!$)

$$2 f_{i,i+1} = f_{ii} + f_{i+1,i+1}$$

и тогда:

$$(E - E_0 + 2J) f_{ij} - \frac{J}{2} (f_{i,j+1} + f_{i,j-1} + f_{i+1,j} + f_{i-1,j}) = 0$$

угадываем $f_{nn'} = e^{i(kan + k'an' + \xi/2)} + e^{i(kan' + k'an - \xi/2)}, \quad n > n'$

граничные условия и уравнение «на диагональ» определяют k, k', ξ

$$2f_{n, n+1} = f_{nn} + f_{n+1, n+1}$$

$$2\left(e^{i(kan+k'a(n+1)+\xi/2)} + e^{i(ka(n+1)+k'an-\xi/2)}\right) = \left(e^{i((k+k')an+\xi/2)} + e^{i((k+k')an-\xi/2)}\right) + \left(e^{i((k+k')a(n+1)+\xi/2)} + e^{i((k+k')a(n+1)-\xi/2)}\right)$$

$$2\left(e^{i(k'a+\xi/2)} + e^{i(ka-\xi/2)}\right) = e^{i\xi/2} + e^{-i\xi/2} + e^{i((k+k')a+\xi/2)} + e^{i((k+k')a-\xi/2)} \quad | : e^{i(k+k')a/2}$$

$$4 \cos\left(\frac{(k'-k)a}{2} + \xi/2\right) = 2 \cos(\xi/2) \cdot 2 \cos\left(\frac{(k+k')a}{2}\right)$$

$$\cos\left(\frac{(k-k')a}{2}\right) \cos \frac{\xi}{2} - \sin\left(\frac{(k-k')a}{2}\right) \sin \frac{\xi}{2} = \cos \frac{\xi}{2} \cos\left(\frac{(k+k')a}{2}\right)$$

$$-\left(\sin \frac{ka}{2} \cos \frac{k'a}{2} - \cos \frac{ka}{2} \sin \frac{k'a}{2}\right) \sin \frac{\xi}{2} = -2 \cos \frac{\xi}{2} \sin \frac{ka}{2} \sin \frac{k'a}{2}$$

$$\underline{2 \operatorname{ctg} \frac{\xi}{2} = \operatorname{ctg} \frac{k'a}{2} - \operatorname{ctg} \frac{ka}{2}}$$

$$f_{nN} = f_{0n}$$

$$e^{i(kan+k'aN+\xi/2)} + e^{i(kaN+k'an-\xi/2)} = e^{i(k'an+\xi/2)} + e^{i(kan-\xi/2)}$$

$$kaN - \xi/2 = \xi/2 + 2\pi p;$$

$$\underline{k = \frac{2\pi p + \xi}{aN}};$$

$$k'aN + \xi/2 = -\xi/2 + 2\pi p'$$

$$\underline{k' = \frac{2\pi p' - \xi}{aN}}$$

два числа p, p' (от 1 до N)
задают двухчастичное состояние

$$E - E_0 = -J(2 - \cos(ka) - \cos(k'a))$$

ограничения на p, p' : нужна вещественность k и k'

частный пример: $p' = p + 1$

$$\cos\left(\frac{2p+1}{N}\pi\right) > 0 \quad \longrightarrow \quad \xi = \pi + i\delta$$

$$k = \frac{(2p+1)\pi}{aN} + i\frac{\delta}{aN}$$

$$k' = \frac{(2p+1)\pi}{aN} - i\frac{\delta}{aN}$$

$$(k' - k)a + \xi = \pi + i\delta - 2i\frac{\delta}{N}$$

$$\cos((k' - k)a/2 + \xi/2) = \cos(\xi/2) \cdot \cos((k + k')a/2)$$

$$\cos\left(\frac{\pi}{2} + i\frac{\delta}{2} - i\frac{\delta}{N}\right) = \cos\left(\frac{\pi}{2} + i\frac{\delta}{2}\right) \cdot \cos\left(\frac{2p+1}{N}\pi\right)$$

$$\underline{\underline{sh\left(\frac{\delta}{2} - \frac{\delta}{N}\right) = sh\frac{\delta}{2} \cdot \cos\left(\frac{2p+1}{N}\pi\right)}}$$

разрешимо на δ

Можно строго доказать, что проблем нет, если $|p - p'| > 1$

обобщение на n-частичный случай

$$\Psi_{k_1, k_2, \dots, k_n} = \sum_{m_1, m_2, \dots, m_n} f_{m_1, m_2, \dots, m_n} \hat{S}_{m_1}^+ \hat{S}_{m_2}^+ \dots \hat{S}_{m_n}^+ \Psi_0$$

$$f_{m_1, m_2, \dots, m_n} = e^{i(k_1 m_1 a + k_2 m_2 a + \dots + k_n m_n a + \frac{1}{2} \sum_{r < t}^n \xi_{k_r, k_t})} + \langle \text{всевозможные перестановки} \rangle$$

$$\xi_{kk'} = -\xi_{k'k}$$

$$2 \operatorname{ctg} \frac{\xi_{kk'}}{2} = \operatorname{ctg} \frac{ka}{2} - \operatorname{ctg} \frac{k'a}{2}$$

$$k = \frac{2\pi p + \sum_1^n \xi_{kk'}}{aN}$$

$$E - E_0 = -J \sum_1^n (1 - \cos k_i a)$$

основное состояние: $n=N/2$ чисел p , не соседние.
То есть: $1, 3, 5, 7, \dots, (N-1)$

Энергия основного состояния. Путём несложных вычислений....

$$E - E_0 = -J \sum_1^n (1 - \cos k_i a) = -J \sum_{p=\{1,3,\dots,N-1\}} \left(1 - \cos \left(\frac{2\pi p + \sum \xi_{kk'}}{N} \right) \right) =$$

$$= -\frac{JN}{2} \int_0^1 (1 - \cos k(x)) dx = -JN \int_0^1 \sin^2 \frac{k(x)}{2} dx$$

$$k(x) = 2\pi x + \frac{1}{2} \int_0^1 \xi(x, y) dy$$

$$2 \operatorname{ctg} \frac{\xi(x, y)}{2} = \operatorname{ctg} \frac{k(x)}{2} - \operatorname{ctg} \frac{k(y)}{2}$$

$$k(x) = 2\pi x + \int_0^1 \operatorname{arcctg} \left[\frac{\operatorname{ctg}(k(x)/2) - \operatorname{ctg}(k(y)/2)}{2} \right] dy$$

$$A = \operatorname{ctg} \frac{k(x)}{2}$$

$$B = \operatorname{ctg} \frac{k(y)}{2}$$

$$f(A) = -\left(\frac{dA}{dx} \right)^{-1}$$

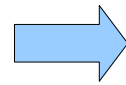
$$f(B) = -\left(\frac{dB}{dy} \right)^{-1}$$

... ВЫЧИСЛЯЕМ

$$E - E_0 = -JN \int_0^1 \sin^2 \frac{k(x)}{2} dx = -JN \int_0^1 \frac{1}{\frac{\cos^2(k(x)/2)}{\sin^2(k(x)/2)} + 1} dx =$$
$$= -JN \int_{-\infty}^{\infty} \frac{f(A) dA}{1 + A^2}$$

$$\frac{dk(x)}{dx} = 2\pi + \int_{-\infty}^{\infty} \frac{f(B) / f(A)}{1 + (A - B)^2 / 4} dB$$

тождество $f(A) \frac{dk(x)}{dx} = \frac{2}{1 + A^2}$



$$\frac{2}{1 + A^2} = 2\pi f(A) + \int_{-\infty}^{\infty} \frac{1}{1 + (A - B)^2 / 4} f(B) dB$$

добавляем Фурье-преобразование

$$F_k = \int_{-\infty}^{\infty} f(x) e^{ikx} dx$$

замена A'=A-B

$$2 \int_{-\infty}^{\infty} \frac{e^{ikA}}{1 + A^2} dA = 2\pi F_k + \iint_{-\infty}^{\infty} f(B) \frac{e^{ikA}}{1 + (A - B)^2 / 4} dB dA$$

... ВЫЧИСЛЯЕМ

$$2 \int_{-\infty}^{\infty} \frac{e^{ikA}}{1+A^2} dA = 2\pi F_k + F_k \int_{-\infty}^{\infty} \frac{e^{ikA'}}{1+(A')^2/4} dA'$$

фурье-образ лоренциана - экспонента

$$F_k = \frac{1}{2\text{ch } k}$$

$$E - E_0 = -JN \int_{-\infty}^{\infty} \frac{f(A) dA}{1+A^2} = \frac{-JN}{2\pi} \iint_{-\infty}^{\infty} \frac{F(k) e^{-ikA}}{1+A^2} dA dk$$

И наконец:

$$E - E_0 = -JN \ln 2$$

$$\left\langle \left(\hat{\vec{S}}_n \cdot \hat{\vec{S}}_0 \right) \right\rangle \propto (-1)^n \frac{1}{(2\pi)^{\frac{3}{2}}} \frac{\sqrt{\ln n}}{n}$$

возбуждения гейзенберговском магнетика.

континуум, нижняя граница

$$\epsilon(q) = \frac{\pi J}{2} |\sin q|$$



в $\pi/2$ раз жёстче обычных
спиновых волн

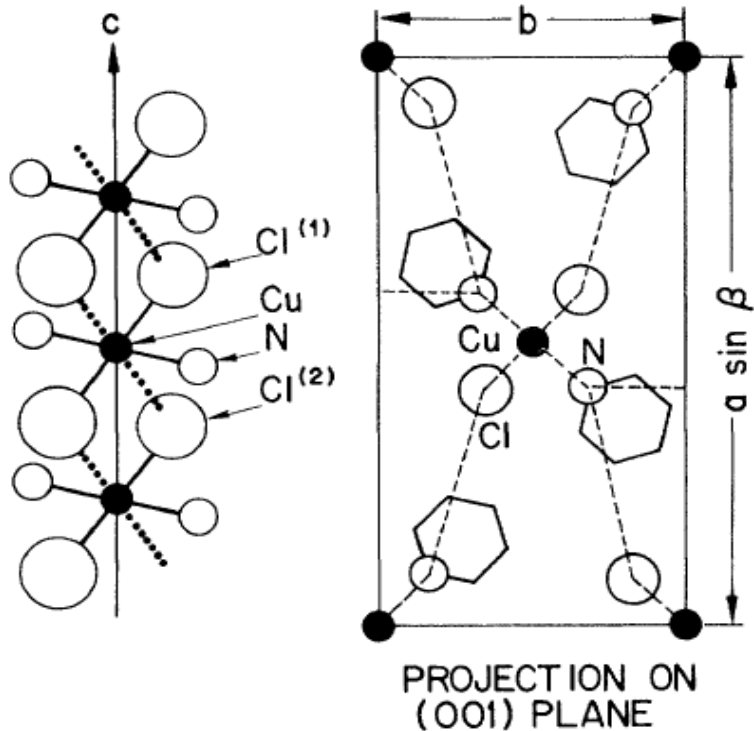
верхняя граница

$$E_{max} = 2 \epsilon\left(\frac{q}{2}\right) = \pi J \left| \sin \frac{q}{2} \right|$$

плотность состояний вычисляется, имеет острый максимум
на нижней границе

формально может быть описан введением частицы *спинона* со
спином $1/2$, при взаимодействии с внешним миром спиноны всегда
рождаются парами.

Экспериментальные примеры



Кристаллическая структура CPC

$\text{CuCl}_2 \cdot 2\text{N}(\text{C}_5\text{D}_5)$ (сокращённо CPC)

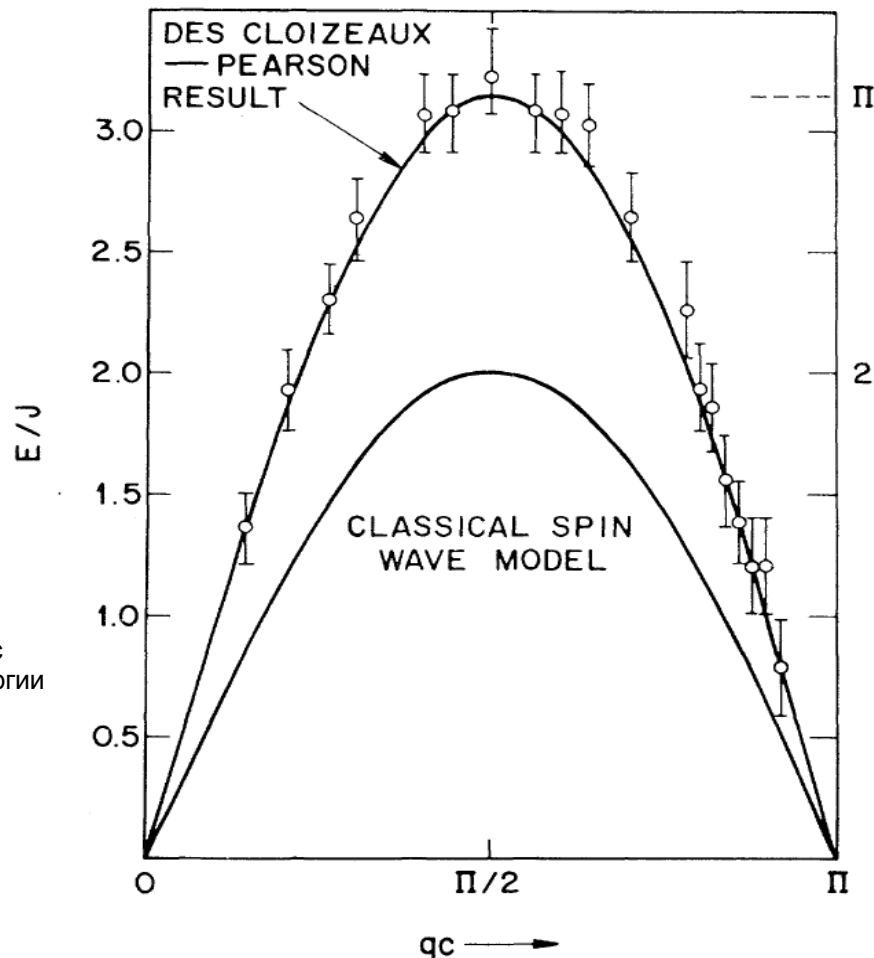
$$a = 17.00 \text{ \AA}$$

$$b = 8.59 \text{ \AA}$$

$$c = 3.87 \text{ \AA}$$

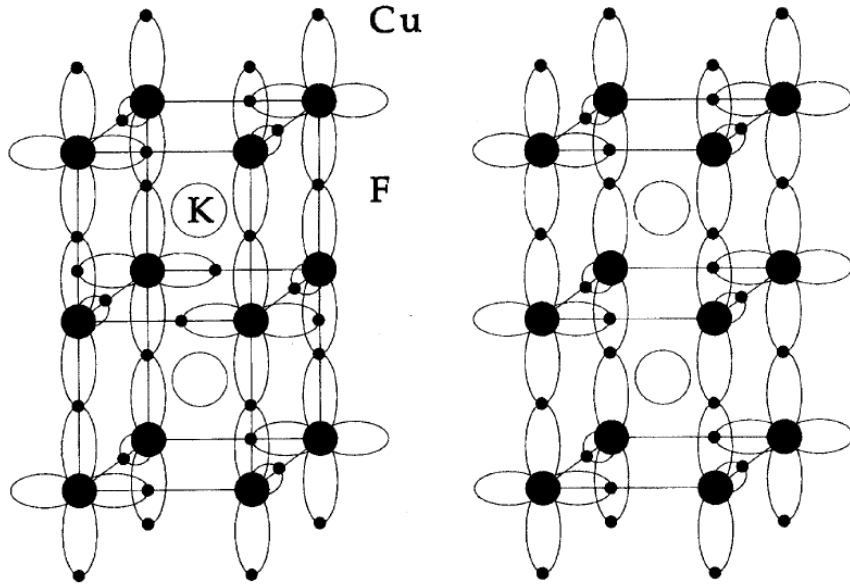
$$\beta = 91^\circ 52'$$

$J = 26.8 \text{ K}$
 может быть определён
 независимо из магнитных
 измерений



Измеренный спектр возбуждений в одномерном антиферромагнетике CPC и сравнение с результатом классической теории и теории де Клуазо-Пирсона. Из работы. Единицы энергии отличаются вдвое от принятых в нашем курсе из за другой формы записи гамильтониана

Экспериментальные результаты



Туре (a)

Туре (d)

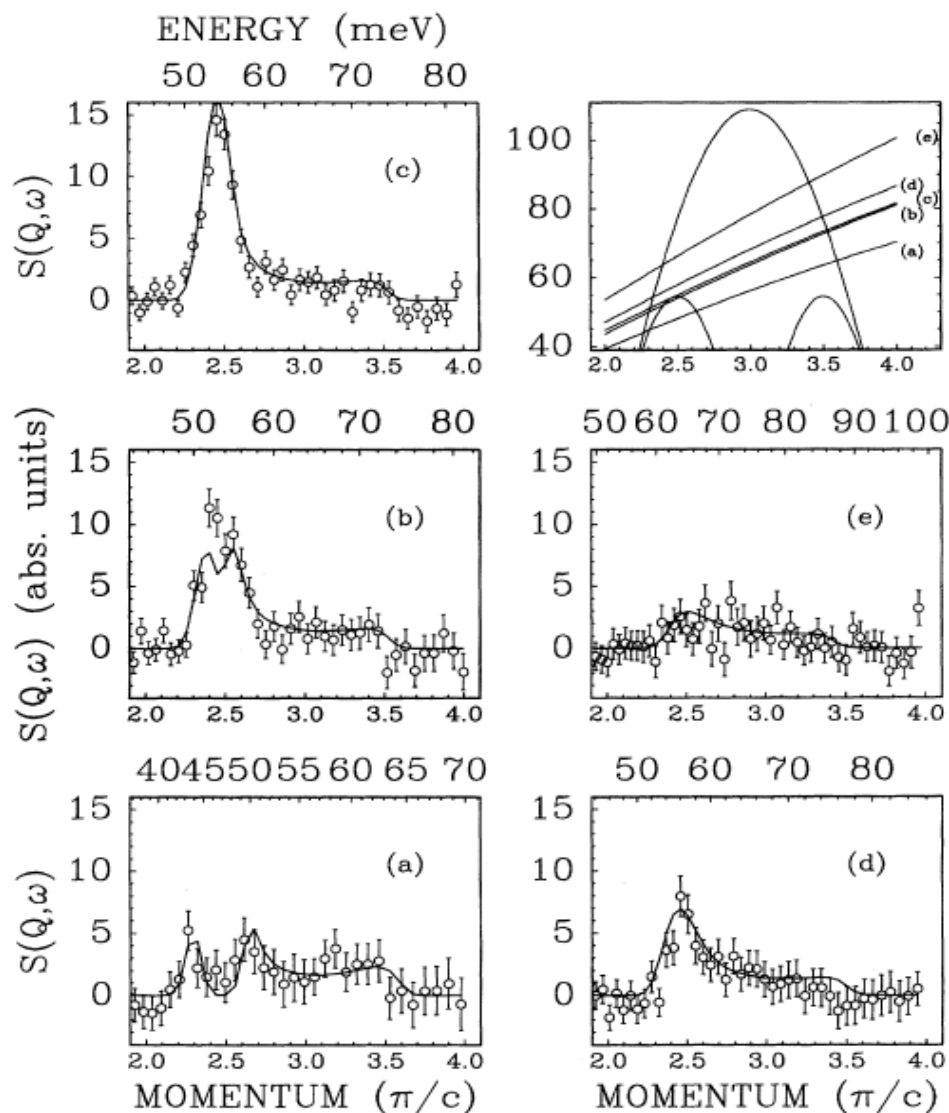
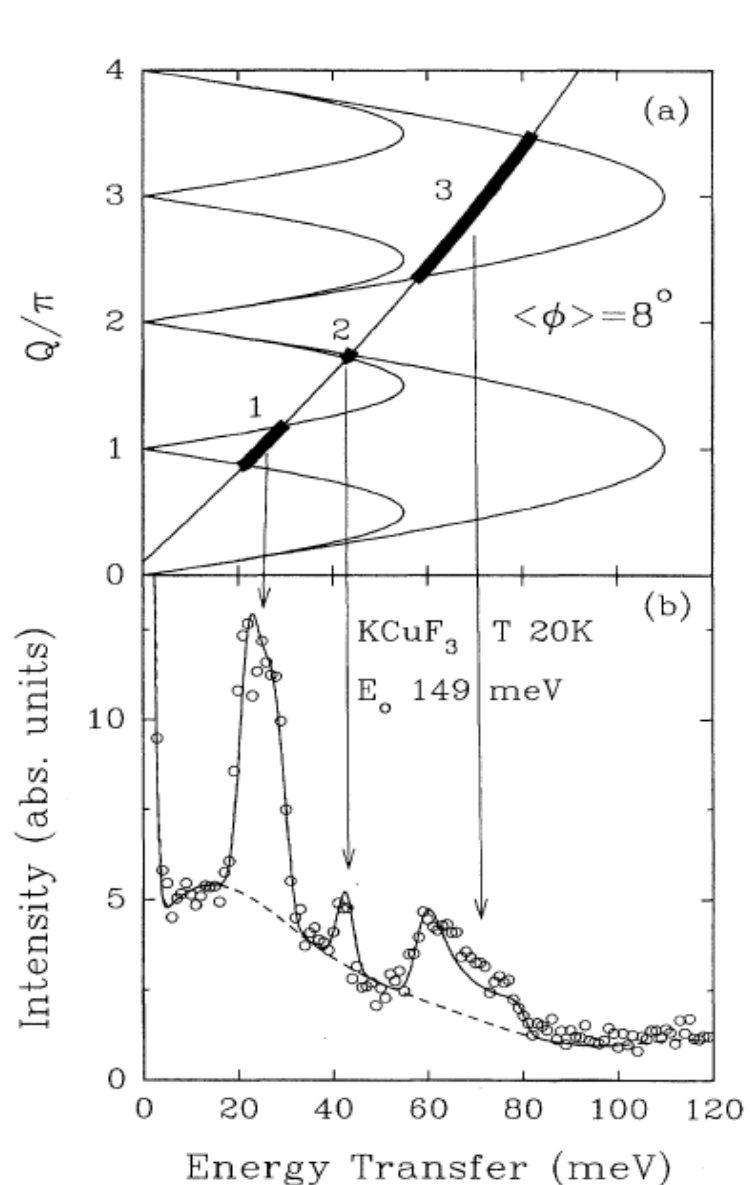
Схематическое изображение структуры и ориентации электронных орбиталей на ионах меди для соединения KCuF_3 в двух политипных структурах (a) и (d).

$$c = 3.914 \text{ \AA}$$

$$a = b = 4.126 \text{ \AA}$$

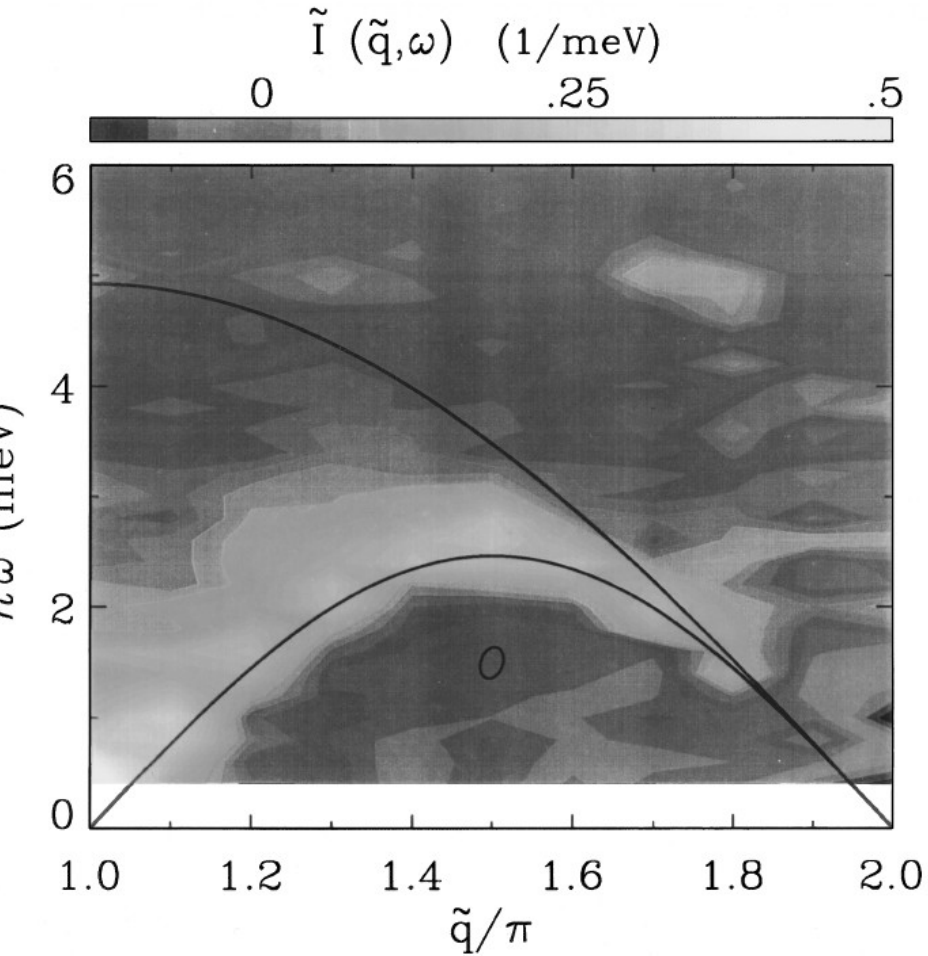
Обменный интеграл (антиферромагнитного знака) вдоль цепочки равен примерно 35 мэВ (около 380К). Из-за слабого межцепочечного (ферромагнитного в случае KCuF_3) взаимодействия наступает дальний магнитный порядок при температуре 39К для структуры вида (a) и 22К для структуры вида (d).

Экспериментальные результаты



Набор траекторий для измерения передачи импульса и энергии при неупругом рассеянии нейтронов и соответствующие профили рассеяния. $T=50\text{K}$. Сплошные линии — расчёт в двухспинной модели.

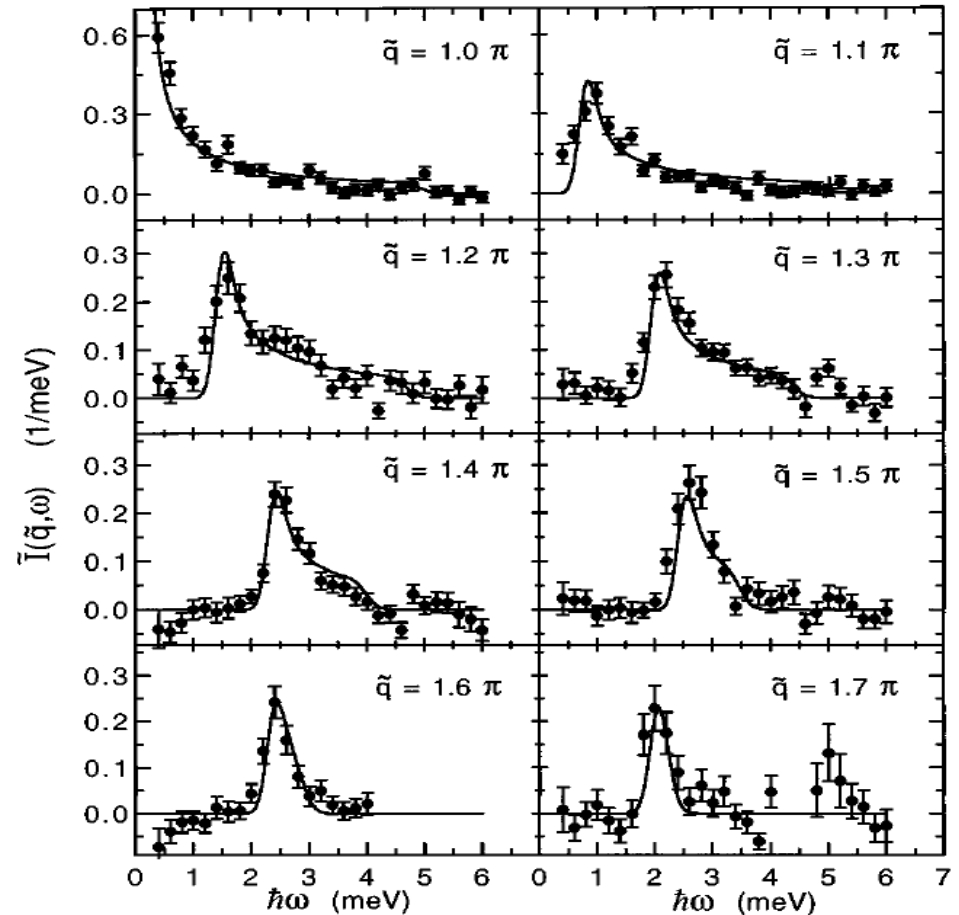
Экспериментальные результаты



D. C. Dender, D. Davidovic, Daniel H. Reich, and Collin Broholm, Kim Lefmann, G. Aeppli, Magnetic properties of a quasi-one-dimensional S=1/2 antiferromagnet: Copper benzoate, Physical Review B, 53, 2583 (1996)



Определённый по кривым восприимчивости обменный интеграл равен 1.57 мЭВ (18.2 К), слабое межцепочечное взаимодействие приводит к упорядочению при 0.76 К.



Профили рассеяния с постоянной передачей импульса. Кривые — модельный расчёт в двухспиновой модели.